

УДК 620.197.3:541.1

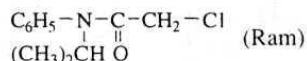
Відмінний співробітник вченої ради Г. Шевченка
ПОДАЧА УЧЕНОГО ВІДДІЛУ
**ПРОІЗВОДСТВО ІНГІБІТОРІВ КОРРОЗІЇ
С УТИЛІЗАЦІЄЙ ГЕРБІЦІДОВ**

© 1997 г. В. Г. Старчак, Ж. В. Замай, И. Н. Курмакова, Н. А. Кузина

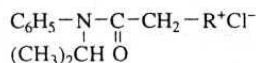
Чернігівський політехнічний інститут
Поступила в редакцію 10.11.95 г.

Исследовано коррозионно-электрохимическое поведение стали 45 в кислой среде (HCl), ингибираванной производными пропахлора, полученными на основе многотоннажного сельскохозяйственного отхода гербицида "Рамрод". Защитные свойства ингибиторов интерпретированы в терминах частных эффектов ингибирования: блокировочного, активационного и энергетического.

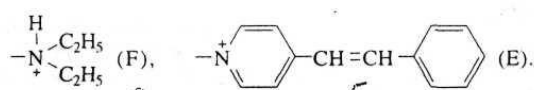
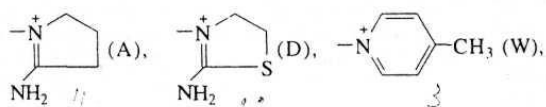
В сельскохозяйственном производстве Черниговской обл. накоплены многотоннажные отходы, наносящие экологический ущерб окружающей среде. Среди них важное место занимает пропахлор – "Рамрод". Проведенные ранее исследования [1] показали перспективность его использования в качестве ингибирующей добавки в коррозионные Cl⁻-содержащие среды с различными pH. С целью утилизации на его основе:



получен ряд веществ общей формулы:



где R:



Целью настоящей работы было изучение эффективности синтезированных ингибиторов с определением частных эффектов ингибирования.

ЭКСПЕРИМЕНТАЛЬНАЯ ЧАСТЬ

Состав и строение веществ доказаны на основе спектров ПМР (рис. 1), а данные элементного анализа соответствовали расчетным. Все соединения получены в форме солей – хлоридов.

Ингибирующее действие оценивали электрохимическим методом на отожжененной стали 45 в растворах HCl с pH от 0 до 2 (потенциометр П-5848)

по известным методикам [2–4]. Поляризационные кривые (20 мВ/мин) торцевого электрода, впрессованного во фторопластовый кожух, сняты от потенциала его свободной коррозии в стеклянной трехэлектродной ячейке с разделенными катодным и анодным пространствами. Электрод сравнения – хлоридсеребряный, потенциал пересчитан на стандартную водородную шкалу. Вспомогательный электрод – Pt. Температура измерений – 20°C. Используя имеющиеся на всех поляризационных кривых тафелевые участки, определяли: тафелевые константы a и b ; катодный i_k и анодный i_a токи при заданных значениях ϕ и потенциалы Φ_k и Φ_a при заданных токах; скорость $i_{\text{кор}}$ и потенциал свободной коррозии $\Phi_{\text{кор}}$, а также коэффициенты торможения электрохимической коррозии в целом γ_3 , а ее катодной – γ_k и анодной – γ_a реакций и их токов обмена – γ_h^0 и γ_m^0 .

По данным аналитических определений скорости растворения стали при $\Phi_{\text{кор}}$ и $\Phi_k = \Phi_{\text{кор}} + \Delta\phi_k$ ($\Delta\phi_k = -0.2 \dots -0.4$ В) определяли скорость "химической коррозии" [5–11] и соответствующий показатель ее торможения – γ_x . Кроме этого, проведены весовые испытания образцов стали 45 ($d = 14$, $h = 15$ мм) в 10%-ном растворе HCl, $T = 20^\circ\text{C}$, $C_{\text{ин}} = 1.5 \dots 5$ ммоль/л, с определением степени защиты $-j_m$ (%) и γ_m (рис. 2). Рассчитывали также коэффициент катодно-ингибиторной защиты $\beta_3 = J_c/J'$ (J' – скорость растворения стали в ингибиторной среде при $\Phi_k = -0.6$ В). Из токов обмена J_m^0 вычисляли кинетические активационные γ_1 и γ_2 как вклады частных коэффициентов ингибирования [3] в результирующий коэффициент $\gamma = \gamma_3\gamma_x$; по сдвигу потенциала $\Delta\psi_1$ находили γ_4 , который характеризует энергетический эффект, и определяли γ_3 , связанный с блокировочным действием, по формуле

$$\gamma_3 = \gamma/\gamma_1\gamma_2\gamma_4.$$

ПРОИЗВОДСТВО ИНГИБИТОРОВ КОРРОЗИИ

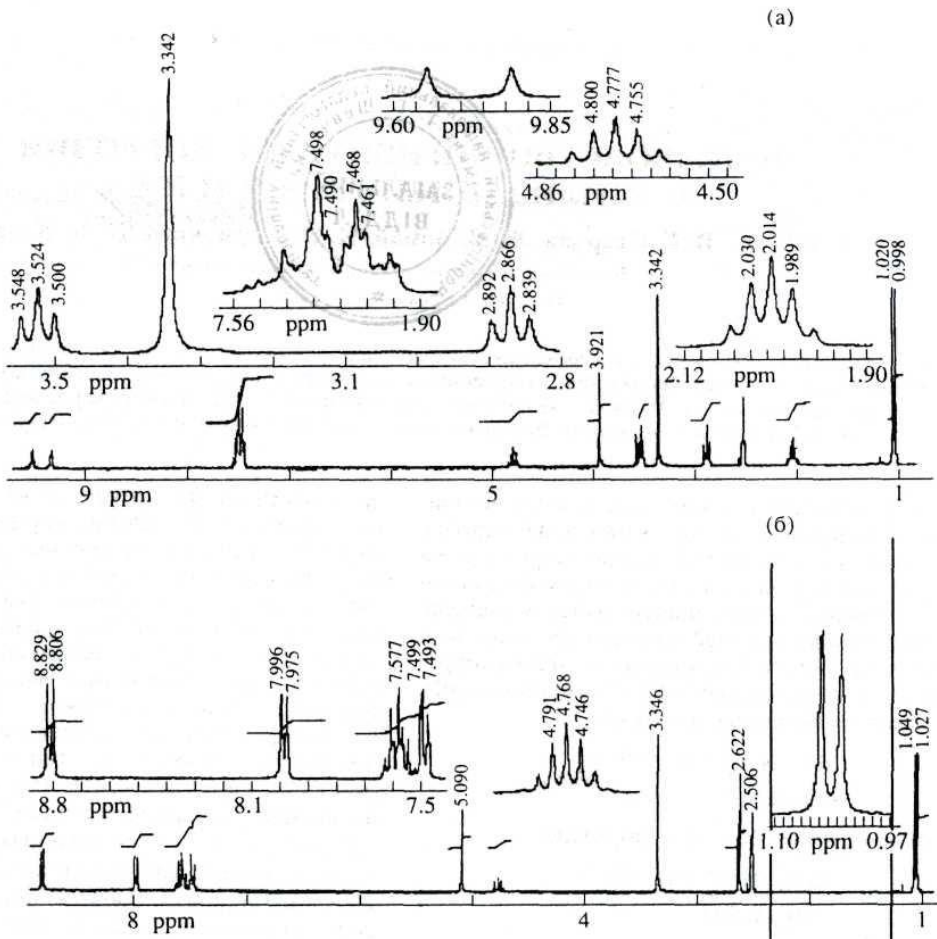


Рис. 1. Спектры ПМР: а – А, б – В.

Определяли эффективность ингибиторной защиты в условиях коррозии под напряжением при малоцикловом нагружении [1, 8, 9, 12–14]:

степень защиты от малоцикловой коррозионной усталости

$$K = [(N'_c - N_c)/(N_b - N_c)] \times 100\%$$

и водородной усталости

$$K_h = [(N'_h - N_h)/N_h] \times 100\%,$$

N_b , N_c , N_h – число циклов до разрушения соответственно в воздухе, в коррозионной (3% NaCl) и на водорождающей среде (3% NaCl с катодной поляризацией, $i_k = 500 \text{ A/m}^2$), N'_c , N'_h – с ингибитором. Маловероятные данные отбрасывали с учетом Q -критерия [15]. Стандартная ошибка при

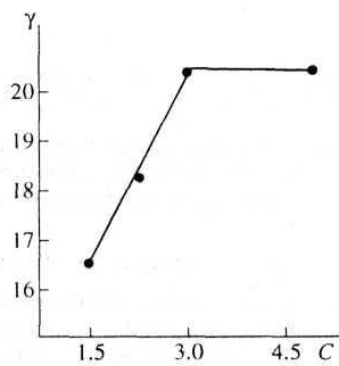


Рис. 2. Зависимость защитного эффекта γ_m (по результатам гравиметрии) от $C_{\text{Инг}}$ (ммоль/л).

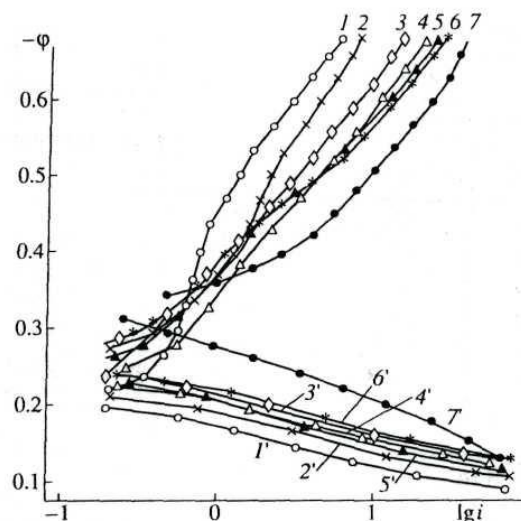


Рис. 3. Поляризационные катодные (1–7) и анодные (1'–7') кривые стали 45 в 0.1 М HCl (ϕ – потенциал, В, i – плотность тока, $\text{A}/\text{м}^2$, $C_{\text{Ин}} = 1.5 \text{ моль}/\text{л}$). Ингибиторы: 1, 1' – E; 2, 2' – F; 3, 3' – Ram; 4, 4' – W; 5, 5' – D; 6, 6' – A; 7, 7' – без ингибитора.

числе измерений $n = 6$, коэффициенте Стьюдента $t = 2.57$, с вероятностью 0.95, равна $\pm 5\text{--}10\%$ [21].

Полученные экспериментальные данные представлены в табл. 1–3 и на рис. 1–3. При введении ингибиторов потенциал коррозии повышается на 30–60 мВ, что указывает на преимущественное торможение анодной реакции вблизи $\Phi_{\text{кор}}$. Электрохимические параметры сопряженных электродных процессов удовлетворительно коррелируют с коэффициентами ингибиции (рис. 3, табл. 1–3): константы a_k и a_a возрастают соответственно на 90–300 и 10–40 мВ. Наиболее эффективному ингибитору E соответствуют максималь-

ные значения $a_k = 1.48$ и $a_a = 0.63$ В. Эффективность защиты от химической коррозии во много раз выше, чем от электрохимической. Исследуемые ингибиторы отличаются высоким катодно-ингибиторным эффектом ($\beta_3 = 9.12 \times 10^7$ – 182×10^7). Обращает на себя внимание (табл. 2, 3), что ингибирование имеет выраженный анодно-блокирующий характер (γ_3 максимальны, а $\gamma_1 \gg \gamma_2$). Замещение хлора в Ram на электрофильный гетероцикл – пиррольное ядро – приводит к заметному снижению ингибиции активности. По сравнению с Ram ингибитору A в 0.1 М HCl соответствуют, по крайней мере, в 1.5 раза меньшие γ . Это в известной мере связано с чрезвычайной неустойчивостью 2-аминопиррольных производных [16] и выражается в уменьшении частных вкладов коэффициентов γ_1 и γ_2 и блокировочного коэффициента γ_3 . Близость значений γ_4 коррелирует с близкой степенью защиты стали от коррозии в 10% HCl (табл. 3, $j_m = 26.9$ и 32.2%). Более высокая в сравнении с A эффективность ингибитора D видна по заметному увеличению коэффициента γ_1 и в особенности γ_4 и, безусловно, связана с наличием в гетероцикле атома серы, который может играть роль не только (+R), но и (-R)-заместителя, в связи с вакантными d -орбитальми этого лиганда (возможно образование π -дативных связей).

Замещение хлора пиридиниевым ядром с 4–CH₃-радикалом приводит к тому, что ингибитор W хуже, чем D, защищает сталь в 10% HCl. Это коррелирует в основном со снижением энергетического эффекта (γ_4 падает с 5.8 до 4). Удовлетворительным объяснением этого может быть изменение плоской конфигурации лиганда под влиянием алкильных R, т.е. снижение сопряжения в лиганде и создание напряжений в хелатных связях M–L [17]. Дальнейшее повышение эффективности ингибитора F ($z_m = 89.8\%$ в 10% HCl) связано с повышением общей основности (нуклеофильности). Параметр нуклеофильности β [18] –

Таблица 1. Электрохимические параметры сопряженных электродных процессов коррозии стали 45 в 0.1 М HCl, $C_{\text{Ин}} = 1.5 \text{ моль}/\text{л}$ *

Ингибитор	Ток коррозии $i_{\text{кор}}$, $\text{A}/\text{м}^2$	Потенциал коррозии $-\Phi_{\text{кор}}$, В	Тафелевые константы, В			Катодный потенциал $-\Phi_k$, В	Анодный потенциал $-\Phi_a$, В
			a_k	a_a	b_k		
–	1.0	0.27	1.18	0.58	0.23	0.41	0.23
A	0.4	0.24	1.27	0.57	0.24	0.47	0.19
D	0.3	0.22	1.29	0.60	0.24	0.49	0.17
W	0.25	0.23	1.31	0.60	0.24	0.51	0.17
Ram	0.25	0.24	1.32	0.59	0.24	0.52	0.18
F	0.14	0.22	1.43	0.62	0.26	0.58	0.16
E	0.10	0.21	1.48	0.63	0.26	0.63	0.14

* Φ_k и Φ_a определяли при $i_k = i_a = 4.0 \text{ A}/\text{м}^2$, b_a (с ИН) = 0.045, b_a (без ИН) = 0.065.

таблица 2. Приближенная оценка частных эффектов ингибиования

Ингибитор	Сдвиг потенциала $\Delta\psi_i$, В	Результирующий коэффициент торможения γ	Частные эффекты ингибиования			
			кинетические		блокировочный γ_3	энергетический γ_4
			γ_1 (по i_m^o)	γ_2 (по i_n^o)		
A	0.083	1985	9.8	1.4	49.9	2.9
D	0.139	5230	12.3	1.5	48.9	5.8
W	0.111	6340	12.3	1.7	75.5	4.1
Ram	0.083	5036	11.4	1.9	80.2	2.9
F	0.139	31006	19.3	2.2	125.9	5.8
E	0.167	158490	31.9	2.8	213.8	8.3

таблица 3. Эффективность ингибиования стали 45 в 0.1 М HCl, $C_{ин} = 1.5$ ммоль/л*

Ингибитор	Коэффициенты торможения					Степень защиты z_m , %	Эффективность катодно-ингибиторной защиты $\beta_3 \times 10^{-8}$	
	электрохимической коррозии γ_3	катодной реакции γ_k	анодной реакции γ_a	химической коррозии γ_x	по токам обмена			
					γ_m^o	γ_n^o		
A	2.5	1.7	5.0	794	1000	1.6	32.2	0.912
D	3.3	2.0	12.6	1585	2000	1.8	83.9	1.82
W	4.0	2.2	12.6	1585	2000	2.2	77.1	1.82
Ram	4.0	2.9	7.9	1259	1600	2.6	26.9	1.44
F	7.1	5.2	31.5	4367	7900	3.2	89.8	5.01
E	10.0	7.4	63.0	15849	36000	4.6	94.5	18.2

* i_k и i_a определяли при $\phi_k = -0.56$ В и $\phi_a = -0.2$ В, β_3 при $\phi_k = -0.6$ В. z_m – в 10% HCl.

у $(C_2H_5)_2^+NH^-$ равен 650, а, например, у пиридина 472. Это согласуется также с двухпараметровым количественным описанием льюисова кислотно-основного взаимодействия, развитым Драго и Вейландом [19, 20]: изменение энталпии

$$\Delta H = E_A E_B + C_A C_B,$$

где E_A и E_B – параметры кислоты и основания, характеризующие их способность к электростатическому (жесткому) взаимодействию, а C_A и C_B – аналогичные параметры их ковалентного (мягкого) взаимодействия. При этом для аминов E_B пропорционально их дипольным моментам, а C_B – их рефракциям:

	$-NH(C_2H_5)_2$	$C_2H_5N^-$
C_B	8.83	6.4
E_B	0.886	1.17

Максимальный защитный эффект ингибитора Е обусловлен прежде всего наличием в молекуле нескольких активных адсорбционных центров: в электронном взаимодействии с атомами Me участвуют кислород карбонила, два атома азота, π -эле-

ктроны гетероцикла и два бензольных кольца. Кроме того, в этом ингибиторе есть ненасыщенный фрагмент $-CH=CH-$, увеличивающий электронную проводимость при резонансном и индукционном взаимодействии заместителей с реакционным центром. Это стабилизирует хелатные комплексы Fe(II), в которых предпочтительно образуются химические связи с N, а не с O ввиду меньшей энергии кристаллического поля O-содержащих лигандов [21].

Напротив, отрицательно заряженный лиганд Cl^- стабилизирует комплексы Fe(III), в которых преобладают связи с O-, а не с N-содержащими лигандами [21]. Достаточно высокая электроотрицательность отдельных группировок лигандов способствует концентрации связующих электронов преимущественно на лигандах, а разрыхляющих – на центральном атоме, что резко увеличивает как эффект блокировки (γ_3 возрастает в 2.7 раза по сравнению с исходным Ram), так и энергетический эффект (γ_4 возрастает в 2.9 раза). Поэтому z_m ингибитора Е достигает в 10% HCl 94.5%. Установлено также, что исследованные ингибиторы эффективны и в условиях коррозии под напряже-

нием при малоциклическом нагружении, что, несомненно, обусловлено наличием на поверхности стали металлополимерных хелатных пленок с высокой адгезией и удовлетворительным балансом прочности и эластичности. Например, даже основной ингибитор Ram увеличивает малоциклическую выносливость стали 20 на 85%. Синергетическая же его композиция с кубовым отходом (К) первой дистилляции цеха регенерации ε-капролактама (ЧПО "Химволокно") и ингибирующей добавкой А' (полимерная четвертичная соль аммония с поверхностно-активным анионом), в соотношении К:Ram : A' = 1 : 1 : 1, и суммарной концентрации 1 г/л обеспечивает эффективность защиты до 90–95%.

ВЫВОДЫ

1. Из синтезированных на основе сельскохозяйственного отхода "Рамрод" ингибиторов максимальные частные эффекты ингибирования (γ_1 – γ_4) проявил ингибитор Е, что обусловлено в основном стабилизацией хелатных комплексов Fe(II) алкенилом.
2. У всех исследованных ингибиторов преобладает блокировочный эффект.
3. Полученные результаты следует учитывать при разработке новых эффективных ингибиторов кислотной коррозии металлов на основе отходов производства.

СПИСОК ЛИТЕРАТУРЫ

1. Старчак В.Г., Анищенко В.А., Демченко А.М. // Экотехнологии и ресурсосбережение. 1994. № 5–6. С. 66.
2. Фрейман Л.И., Макаров В.А., Брыксин И.Е. Потенциостатические методы в коррозионных исследованиях и электрохимической защите. Л.: Химия, 1972. 240 с.
3. Антропов Л.И. Теоретическая электрохимия. М.: Высш. шк., 1984. 519 с.
4. Фокин М.Н., Жигалова К.А. Методы коррозионных испытаний металлов / Под ред. Колотыркина Я.М. М.: Металлургия, 1986. 80 с.
5. Колотыркин Я.М., Флорианович Г.М. // Итоги науки и техники: Сер. Электрохимия. М.: ВИНТИ, 1971. Т. 7. С. 5.
6. Колотыркин Я.М., Флорианович Г.М. // Защита металлов. 1965. Т. 1. № 4. С. 7.
7. Экилик В.В., Григорьев В.П. Природа растворителя и защитное действие ингибиторов коррозии. Ростов н/Д: Изд-во Рост. ун-та, 1984. 192 с.
8. Старчак В.Г. // Защита металлов. 1992. Т. 2. № 3. С. 509.
9. Старчак В.Г. Комплексная система контроля и оценки эффективности защиты конструкционных сталей от коррозионно-механических разрушений в наводороживающих средах. Чернигов: Всесоюз. совет науч.-техн. обществ, 1983. 69 с.
10. Старчак В.Г., Косухина Л.Д., Красовский А.Н. // Журн. прикл. химии. 1988. Т. 61. № 3. С. 507.
11. Старчак В.Г., Косухина Л.Д., Красовский А.Н. // Защита металлов. 1987. Т. 23. № 1. С. 111.
12. Бабей Ю.И., Сопрунок Н.Г. Защита стали от коррозионно-механического разрушения. Киев: Техника, 1981. 126 с.
13. Иванов Е.С. Ингибиторы коррозии металлов в кислых средах. М.: Металлургия, 1986. 175 с.
14. Карпенко Г.В., Кацов К.Б., Кокотайло И.В. и др. Малоциклическая усталость стали в рабочих средах. Киев: Наук. думка, 1977. 112 с.
15. Гордон А., Форд Р. Спутник химика. М.: Мир, 1976. 541 с.
16. Джоуль Дж., Смит Г. Основы химии гетероциклических соединений. М.: Мир, 1976. 398 с.
17. Байзер М.М. Электрохимия органических соединений. М.: Мир, 1976. 731 с.
18. Пальм В.А. Основы количественной теории органических реакций. Л.: Химия, 1977. 359 с.
19. Drago R.S., Wayland B.B. // J. Amer. Chem. Soc. 1965. V 87. P. 3871.
20. Drago R.S. // Chem. In Britain. 1967. V. 3. P. 516.
21. Басоло Ф., Пирсон Р. Механизмы неорганических реакций. Изучение комплексов металлов в растворе. М.: Мир, 1971. 592 с.